

BHYWI-22: Semester-Fahrplan: 2019

Vorlesungen & Übungen

Kolditz		<i>Hydromechanik und numerische Methoden</i>
05 Apr 2019	V2-01	Einführung in die Veranstaltung
12 Apr 2019	V2-02	Hydromechanik / Numerische Methoden: Wiederholung
19 Apr 2019		Ostern
		<i>Numerische Methoden</i>
26 Apr 2019	V2-03	Einzugsgebiet: Übung
03 Mai 2019	V2-04	Numerik: Finite-Differenzen-Verfahren (2D): Vorlesung
10 Mai 2019	V2-05	Numerik: Finite-Differenzen-Verfahren (2D): Übung
17 Mai 2019	V2-06	Software: Objekt-Orientierte FDM
24 Mai 2019	V2-07	Selke-Modell: Übung
31 Mai 2019	V2-08	Numerik: Finite-Elemente-Verfahren: Vorlesung
07 Jun 2019	V2-09	Numerik: Finite-Elemente-Verfahren: Übung
14 Jun 2019	V2-10	Pfingsten
		<i>Datenbasierte Methoden</i>
21 Jun 2019	V1+2	<i>VISLAB Exkursion</i>
28 Jun 2019	V2-11	Hydrogeologische Modellierung: Datenbasierte Verfahren I
05 Jul 2019	V2-12	Hydrogeologische Modellierung: Datenbasierte Verfahren II
12 Jul 2019	V2-13	Klausurvorbereitung

Modellierung von Hydrosystemen
"Numerische und daten-basierte Methoden"
BHYWI-22-04 @ 2019
Finite-Differenzen-Methode (FDM) 2D

Olaf Kolditz

*Helmholtz Centre for Environmental Research – UFZ

¹Technische Universität Dresden – TUDD

²Centre for Advanced Water Research – CAWR

03/10.05.2019 - Dresden

- ▶ Übersicht Übungen
- ▶ Grundlagen - GWE
- ▶ Grundlagen - TSE
- ▶ Übungen zur expliziten FDM (page 12) [BHYWI-22-E2]
- ▶ TSE double-check
- ▶ Übung zur expliziten FDM [BHYWI-22-E2]
- ▶ Übung zu OOP-FDM [BHYWI-22-E4]

► PDE

$$S \frac{\partial h}{\partial t} - \frac{\partial}{\partial x} \left(K_x \frac{\partial h}{\partial x} \right) - \frac{\partial}{\partial y} \left(K_y \frac{\partial h}{\partial y} \right) = Q \quad (1)$$

in time ($\Delta t = t^{n+1} - t^n$)

$$u_j^{n+1} = \sum_{m=0}^{\infty} \frac{\Delta t^m}{m!} \left[\frac{\partial^m u}{\partial t^m} \right]_j \quad (2)$$

in space ($\Delta x = x_{i+1}^n - x_i^n$)

$$u_{i+1}^n = \sum_{m=0}^{\infty} \frac{\Delta x^m}{m!} \left[\frac{\partial^m u}{\partial x^m} \right]_i \quad (3)$$

in space ($\Delta y = y_{j+1}^n - y_j^n$)

$$u_{j+1}^n = \sum_{m=0}^{\infty} \frac{\Delta y^m}{m!} \left[\frac{\partial^m u}{\partial y^m} \right]_j \quad (4)$$

► Zeitableitung

$$\left[\frac{\partial u}{\partial t} \right]_j^n = \frac{u_j^{n+1} - u_j^n}{\Delta t} - \frac{\Delta t}{2} \left[\frac{\partial^2 u}{\partial t^2} \right]_j^n - O(\Delta t^2) \quad (5)$$

► in space

$$\left[\frac{\partial^2 u}{\partial x^2} \right]_{i,j}^n = \frac{u_{i+1,j}^n - 2u_{i,j}^n + u_{i-1,j}^n}{\Delta x^2} - \frac{\Delta x^2}{12} \left[\frac{\partial^4 u}{\partial x^4} \right]_{i,j}^n - \dots \quad (6)$$

$$\left[\frac{\partial^2 u}{\partial y^2} \right]_{i,j}^n = \frac{u_{i,j+1}^n - 2u_{i,j}^n + u_{i,j-1}^n}{\Delta y^2} - \frac{\Delta y^2}{12} \left[\frac{\partial^4 u}{\partial y^4} \right]_{i,j}^n - \dots \quad (7)$$

$$-K_{i,j}^x \frac{u_{i+1,j}^n - 2u_{i,j}^n + u_{i-1,j}^n}{\Delta x^2} - K_{i,j}^y \frac{u_{i,j+1}^n - 2u_{i,j}^n + u_{i,j-1}^n}{\Delta y^2} + S_{i,j} \frac{u_{i,j}^{n+1} - u_{i,j}^n}{\Delta t} = Q_{i,j} \quad (8)$$

$$\begin{aligned} u_{i,j}^{n+1} &= u_{i,j}^n \\ &+ \frac{K_{i,j}^x}{S_{i,j}} \frac{\Delta t}{\Delta x^2} u_{i+1,j}^n - 2u_{i,j}^n + u_{i-1,j}^n \\ &+ \frac{K_{i,j}^y}{S_{i,j}} \frac{\Delta t}{\Delta y^2} u_{i,j+1}^n - 2u_{i,j}^n + u_{i,j-1}^n \\ &+ \frac{Q_{i,j}}{S_{i,j}} \end{aligned} \quad (9)$$

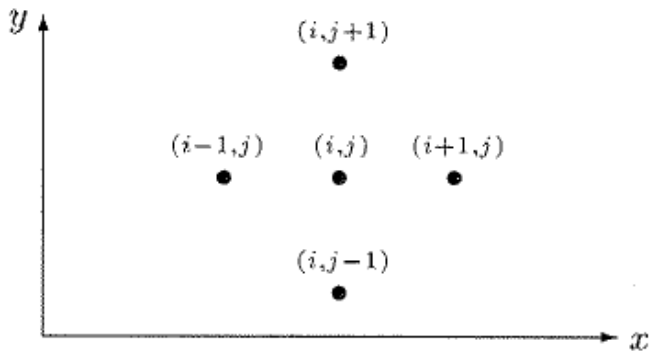


Figure: 5-Punkte-Stern (Knabner und Angermann 2000)

► Datenstrukturen

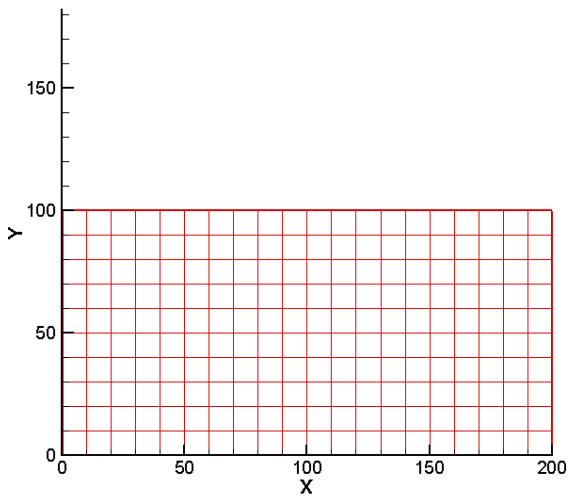
Table:

Feldgröße	u
Physikalische Parameter	S, K, Q
Numerische Parameter	$\Delta t, \Delta x, \Delta y$

Die Minimal-Datenstrukturen für die Programmierung der Gleichung (9) sind damit:

```
std::vector<float>u_new;  
std::vector<float>u_old;  
float S0,Kf,Q;  
float dx,dy,dt;
```

Restart



Um dieses Gitter "abtasten" zu können, schreiben wir folgende doppelte Schleife.

```
for(j=0;j<jy;j++)
{
  nn = j*ix;
  for( i=0;i<ix;i++)
  {
    n = nn+i;
    u_new[n] = u[n] \
              + Kf/S0*dt/dx2 * (u[n+1]-2*u[n]+u[n-1]) \
              + Kf/S0*dt/dy2 * (u[(j+1)*ix+i]-2*u[n]+u[(j-1)*ix+i]) \
              + Q/S0;
  }
}
```

Um dieses Gitter "abtasten" zu können, schreiben wir folgende doppelte Schleife.

```
for(int j=0;j<jy;j++)
{
  nn = j*ix;
  for(int i=0;i<ix;i++)
  {
    n = nn+i;
    if(IsBCNode(n,bc_nodes))
      continue;
    u_new[n] = u[n] \
      + Kf/S0*dt/dx2 * (u[n+1]-2*u[n]+u[n-1]) \
      + Kf/S0*dt/dy2 * (u[(j+1)*ix+i]-2*u[n]+u[(j-1)*ix+i]) \
      + Q/S0;
  }
}
```

Dabei ist j der Laufindex über die y Richtung und i der Laufindex über die x Richtung. Ganz wichtig ist natürlich, den Speicher für die Vektoren bereitzustellen, bevor es los geht.

```
u.resize(ix*jy);  
u_new.resize(ix*jy);
```

- ▶ Welche Rolle spielen ix und jy bei der Speicherreservierung?

Natürlich müssen auch die Parameter vor der Berechnung initialisiert werden

```
ix = 21;  
jy = 11;  
dx = 10.;  
dy = 10.;  
dt = 0.25e2;  
S0 = 1e-5;  
Kf = 1e-5;  
Q = 0.;  
u0 = 0.;
```

- ▶ Welche Einheiten haben die einzelnen Parameter?

Das mit den Anfangsbedingungen ist eine einfache Sache. Mit der Doppelschleife über alle Knoten, können wir sehr einfach einen Wert u_0 als Anfangsbedingung überall zuweisen.

```
for(int i=0;i<ix;i++)
  for(int j=0;j<jy;j++)
  {
    u[j*(ix+1)] = u0;
    u_new[j*(ix+1)] = u0;
  }
}
```

Mit den Randbedingungen ist es etwas kniffliger ...

```
//top and bottom
int l;
for(int i=0;i<ix;i++)
{
    bc_nodes.push_back(i); u[i] = u_top  u_new[i] = u_top;
    l = ix*(jy-1)+i;
    bc_nodes.push_back(l); u[l] = u_bottom;  u_new[l] = u_bottom;
}
//left and right side
for(int j=1;j<jy-1;j++)
{
    l = ix*j;
    bc_nodes.push_back(l); u[l] = u_left;  u_new[l] = u_left;
    l = ix*j+ix-1;
    bc_nodes.push_back(l); u[l] = u_right;  u_new[l] = u_right;
}
```

Sie sehen, dass wir für die Zuweisung der Randbedingungen eine neue Datenstruktur eingeführt haben.

```
std::vector<float>u_bc;
```

Das Einbauen der Randbedingungen integrieren wir direkt in die Doppelschleife zur Berechnung der Knotenwerte. Dabei kommt eine neue Funktion `IsBCNode` ins Spiel, die wir uns gleich noch näher anschauen. `IsBCNode` soll eigentlich nichts anderes machen, als beim Auftreten einer Randbedingung nichts zu tun (i.e. `continue`). Randbedingungswerte sind gesetzt, müssen also nicht gerechnet werden.

```
for(int j=0;j<jy;j++)
{
    nn = j*ix;
    for(int i=0;i<ix;i++)
    {
        n = nn+i;
        if(IsBCNode(n,bc_nodes))
            continue;
        ...
    }
}
```

Wie funktioniert nun IsBCNode?

```
bool IsBCNode(int n, std::vector<int>bc_nodes)
{
    bool is_node_bc = false;
    for(int k=0;k<(size_t)bc_nodes.size();k++)
    {
        if(n==bc_nodes[k])
        {
            is_node_bc = true;
            return is_node_bc;
        }
    }
    return is_node_bc;
}
```

Struktur der Funktion:

- ▶ Rückgabewert: logischer Wert wahr oder falsch
- ▶ Parameter: aktueller Gitterpunkt und Randbedingungsknotenvektor

Die Funktion überprüft, ob der Gitterpunkt n ein Randbedingungsknoten ist und gibt den entsprechenden logischen Wert zurück.

Das Ergebnis der finite Differenzen Simulation sehen wir in der Abb.

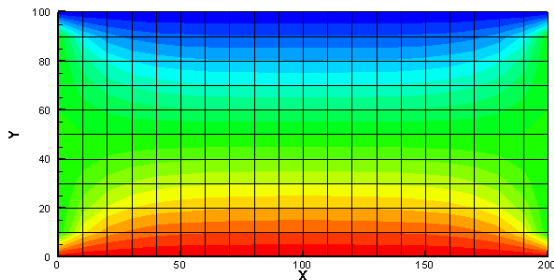


Figure: Berechnete Druckverteilung im Rechteck-Aquifer nach 100 Zeitschritten $\Delta t = 25$ sec

Jetzt werden wir mutig und vergrößern mal den Zeitschritt, sagen wir mal verdoppeln: $\Delta t = 50$ sec. Das Maleur sehen wir in der Abb. Was ist hier los?

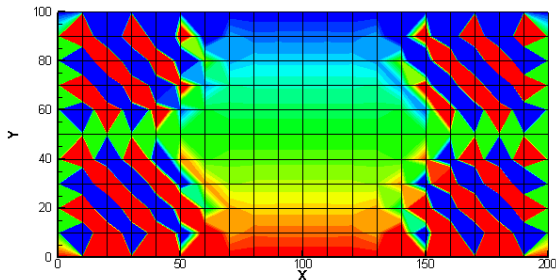


Figure: Berechnete Druckverteilung im Rechteck-Aquifer nach 100 Zeitschritten $\Delta t = 50$ sec

Wir erinnern uns noch dunkel daran, dass der Preis für das einfache explizite FDM ein strenges Stabilitätskriterium war (siehe Hydroinformatik, Teil II, Abschn. 3.2.2 und Abschn. 4.1). Dabei muss die Neumann-Zahl kleiner einhalb sein.

$$Ne = \alpha \frac{\Delta t}{\Delta x^2} \leq \frac{1}{2} \quad (10)$$

Prima, aber was ist jetzt α und warum steht nur Δx und nicht auch Δy in der Gleichung? Zur bestimmung des α schreiben wir die Grundwassergleichung in eine Diffusionsgleichung wie folgt um.

$$\frac{\partial h}{\partial t} = \frac{K_x}{S} \frac{\partial^2 h}{\partial x^2} + \frac{K_y}{S} \frac{\partial^2 h}{\partial y^2} + \frac{Q}{S} \quad (11)$$

Wir sehen, dass es eigentlich zwei α -s gibt, für jede Richtung eins.

$$\alpha_x = \frac{K_x}{S} \quad (12)$$
$$\alpha_y = \frac{K_y}{S}$$

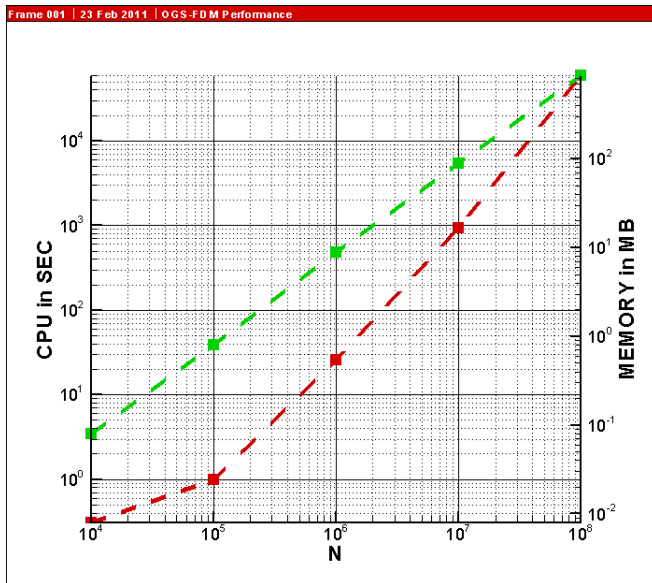
- ▶ Welche Einheit hat unser Grundwasser- α ?

Der richtige Zeitschritt für unser explizites FD Verfahren ergibt sich somit zu:

$$\Delta t \leq \frac{\min(\Delta x^2, \Delta y^2)}{2\alpha} \quad (13)$$

Die numerischen und hydraulischen Parameter sind in der nachfolgenden Tabelle ?? zu finden. Glücklicherweise sind die Ortdiskretisierungen und die hydraulischen Leitfähigkeiten in beide Koordinatenrichtungen gleich (isotropes Problem).

$$\Delta t \leq \frac{100m^2}{2 \times 1m^2/s} = 50s \quad (14)$$



Wie stellen wir eine Zeitmessung in einem Programm an.

```
clock_t start, end; Definitionen
```

```
...
```

```
start = clock();    Beginn Zeitmessung
```

```
...
```

```
end = clock();      Ende Zeitmessung
```

```
...
```

```
time= (end-start)/(double)(CLOCKS_PER_SEC); Differenz
```

Übung E2 Der Quelltext für diese Übung befindet sich in
EXERCISES.

Software-Engineering

GitHub

GitHub, Inc. (US) | <https://github.com/envinf/teaching> Suchen

Search or jump to... Pull requests Issues Marketplace Explore

envinf / teaching Unwatch 1 Star 0 Fork 0

Code Issues 0 Pull requests 0 Projects 0 Wiki Insights Settings

This repository is intended for teaching purposes at our partner universities Edit

[Add topics](#)

3 commits 1 branch 0 releases 1 contributor

Branch: master New pull request Create new file Upload files Find file Clone or download

OlafKolditz Update dummy.cpp Latest commit b6c9194 14 days ago

hydrosystems	Update dummy.cpp	14 days ago
.gitignore	Initial commit	14 days ago
README.md	Initial commit	14 days ago

README.md